

УДК 537.226

НЕУСТОЙЧИВОСТЬ МОДУЛИРОВАННОЙ ПО ПОЛЯРИЗАЦИИ СВЕТОВОЙ ВОЛНЫ В НЕЛИНЕЙНОЙ СРЕДЕ

В. В. Брыксин, Л. И. Коровин, А. В. Хоменко

Развита теория, описывающая распространение интенсивной световой волны в оптически нелинейной среде. Предполагается, что падающая волна модулирована по направлению вектора поляризации в плоскости, перпендикулярной направлению распространения, а модуляция по амплитуде отсутствует. Учен векторный характер поля волны. Исследованы неустойчивости, их тип и условия возникновения. Показано, что наряду с самофокусировкой, имеющей место в скалярной модели при амплитудной модуляции, здесь появляются новые неустойчивости, обусловленные модуляцией волны по состоянию поляризации.

Теория явления самофокусировки в оптически нелинейной среде разработана в основном для световых волн, модулированных по амплитуде (например, для гауссовых пучков, для однородных по сечению ограниченных пучков и т. п.) [1, 2]. В этом случае, как известно, электрическое поле волны можно считать скалярной величиной. Для изучения поляризационных эффектов в нелинейной среде необходимо учесть векторный характер поля световой волны. Нелинейная оптика векторных полей развита менее детально. Здесь следует упомянуть работы по самовращению эллипса оптической индикатрисы, в которых показано, что скорость вращения зависит не только от интенсивности света, но и от степени эллиптичности [3-5].

С другой стороны, в связи с исследованием возможностей оптических методов обработки информации возрос интерес к процессам распространения света в средах с пространственно-неоднородной модуляцией двулучепреломления [6]. Прохождение света в таких электрооптически неоднородных средах сопровождается модуляцией по состоянию поляризации, как это имеет место, например, в пространственно-временных модуляторах ПРОМ или ПРИЗ. В связи с этим представляет интерес рассмотреть распространение пространственно-модулированной по состоянию поляризации световой волны в нелинейной среде. В этом случае существен векторный характер поля волны. Прохождение света через пространственно-неоднородную среду может сопровождаться, в частности, возникновением неустойчивостей нового типа, которые отличаются от самофокусировки в скалярной модели.

Можно ожидать, что неустойчивости в векторной модели приведут к перераспределению интенсивностей между различными дифракционными порядками, в частности, к усилению слабых порядков за счет нулевого. Для того чтобы оценить величину эффекта и определить условия его существования, в настоящем сообщении в качестве первого шага рассматривается задача распространения световой волны в нелинейной изотропной среде.

1. Основные уравнения и нулевое приближение

Пусть на неограниченный по x и y слой изотропного вещества падает нормально к поверхности (вдоль оси z) интенсивная световая волна, направление вектора поляризации которой во входной плоскости $z=0$ явля-

ется функцией координат x и y . В стационарном случае укороченные уравнения Максвелла для вектора E электрического поля волны, в которых учтено самовоздействие, имеют вид [7]

$$\begin{aligned} i\partial E/\partial z + (2k_0)^{-1} \Delta_{\perp} E + \alpha (EE^*) E + \beta (EE) E^* &= 0, \\ k_0 &= \omega n_0/c, \quad \alpha = (\omega/2n_0c) \alpha_0, \quad \beta = (\omega/2n_0c) \beta_0, \end{aligned} \quad (1)$$

ω и c — частота и скорость света; n_0 — показатель преломления среды; α_0 и β_0 — константы, описывающие ее нелинейность; Δ_{\perp} — двухмерный оператор Лапласа. Ниже считается, что падающая волна промодулирована слабо, так что поле на границе $z=0$ $E_0(x, y)$ можно представить в виде

$$E_0(x, y) = \mathcal{E}_0 + e_0(x, y), \quad |\mathcal{E}_0| \gg |e_0|, \quad (2)$$

где \mathcal{E}_0 не зависит от x, y . В соответствии с этим предположением поле в среде

$$E(x, y, z) = \mathcal{E}(z) + e(x, y, z), \quad |\mathcal{E}| \gg |e|. \quad (3)$$

Малость поля e используется для линеаризации уравнения (1). Нелинейное уравнение для $\mathcal{E}(z)$ (оно отличается от (1) отсутствием члена $\Delta_{\perp} E$) легко решается с помощью разбиения поля \mathcal{E} на две циркулярно-поляризованные компоненты [3]

$$\mathcal{E}(z) = \mathcal{E}_{0+} e^{iqz} g_+ + \mathcal{E}_{0-} e^{-iqz} g_-. \quad (4)$$

Поле на границе $z=0$ определяется как $\mathcal{E}_0 = \mathcal{E}_{0+} g_+ + \mathcal{E}_{0-} g_-$, где \mathcal{E}_{0+} и \mathcal{E}_{0-} — амплитуды право- и левополяризованных составляющих падающей волны. Комплексные орты g_{\pm} связаны с декартовыми ортами g_x и g_y известными соотношениями $g_{\pm} = (g_x \mp i g_y)/\sqrt{2}$,

$$q = (\omega\beta_0/2cn_0) (I_- - I_+) = \beta I \sin 2\lambda. \quad (5)$$

В (5) введены интенсивности право- и левополяризованных волн $I_{\pm} = |\mathcal{E}_{0\pm}|^2$ и полная интенсивность падающей волны $I = I_+ + I_-$. В представлении эллиптической поляризации

$$I_{\pm} = (I/2) (1 \mp \sin 2\lambda), \quad (6)$$

где λ определяет степень эллиптичности. Соотношение (4) указывает на равномерное вращение эллипса поляризации волны со скоростью q (угол поворота осей эллипса равен qz) без деформации его формы [8]. Предполагается, что ось x совмещена с одной из главных осей эллипса в плоскости $z=0$. Тогда $\operatorname{tg} \lambda = \mathcal{E}_y/\mathcal{E}_x$.

Пусть на входе волна промодулирована только по степени эллиптичности, т. е. $\lambda = \lambda(x, y)$. Тогда в соответствии с (5) на выходе из среды свет будет промодулирован также и по направлению главных осей эллипса оптической индикатрисы за счет нелинейных эффектов. Это утверждение справедливо даже в нулевом приближении, когда не учитываются поперечные производные. Однако в отличие от [3, 8], как будет показано ниже, учет Δ_{\perp} при пространственно-модулированной поляризации приводит к новым эффектам, связанным с неустойчивостью.

2. Решение линеаризованных уравнений

Для исследования неустойчивости достаточно линеаризовать уравнение (1) по малому модулированному полю e . Вводя новые функции

$$A = \exp\{-i(\alpha + \beta) Iz\} \mathcal{E} \quad \text{и} \quad a = \exp\{-i(\alpha + \beta) Iz\} e,$$

получим для вектора a линейное уравнение

$$i\partial a/\partial z + (2k_0)^{-1} \Delta_{\perp} a + \alpha A [(Aa^*) + (A^*a)] + \beta [2(Aa)A^* + (AA)a^* - Ia] = 0. \quad (7)$$

В (7) учтено, что $|A|^2 = I$. Ниже будет использоваться преобразование Фурье по переменным x и y , так что лапласиан Δ_{\perp} заменяется на $-\nu^2$ ($\nu^2 = \nu_x^2 + \nu_y^2$).

В уравнении (7) коэффициенты через функцию A зависят от z (см. определение A и (4)). Вектор a удобно разложить на циркулярные составляющие $a = a_+ g_+ + a_- g_-$. После этого, вводя новые переменные C_{\pm} по формуле

$$a_{\pm} = (\mathcal{E}_{0\pm} C_{\pm} / I_{\pm}) \exp(\mp i q z), \quad (8)$$

получим для C_{\pm} систему уравнений с постоянными коэффициентами

$$i d C_{\pm} / dz - q_0^2 C_{\pm} + I_{\pm} \{ (\alpha + 2\beta) (C_{\mp} + C_{\mp}^*) + \alpha (C_{\pm} + C_{\pm}^*) \} = 0, \quad (9)$$

где $q_0^2 = v^2 / 2k_0$. Поле на границе $z = 0$ e_0 (см. (2)) также разложим на e_{0+} и e_{0-} и перейдем к Фурье-компонентам $e_{0\pm}(\mathbf{v})$ ($\mathbf{v} = (v_x, v_y)$). С учетом этих граничных условий система (9) после преобразования Лапласа принимает вид

$$(ip - q_0^2) C_{\pm}(p) + I_{\pm} \{ (\alpha + 2\beta) [C_{\mp}(p) + C_{\mp}^*(p)] + \alpha [C_{\pm}(p) + C_{\pm}^*(p)] \} = i \mathcal{E}_{0\pm}^* e_{0\pm}. \quad (10)$$

В (10) было использовано равенство $(I_{\pm} / \mathcal{E}_{0\pm}) = \mathcal{E}_{0\pm}^*$, p — переменная Лапласа.

В дальнейшем нас будут интересовать процессы самовоздействия, обусловленные только модуляцией состояния поляризации падающей волны. С тем чтобы исключить самофокусировку, обусловленную амплитудной модуляцией, наложим условие однородности по интенсивности падающего света, т. е. $|E_0|^2 = \text{const}(x, y)$. С точностью до $|e_0|^2$ это условие дает

$$\text{Re}(\mathcal{E}_{0+}^* e_{0+} + \mathcal{E}_{0-}^* e_{0-}) = 0. \quad (11)$$

На величины $\mathcal{E}_{0\pm}$ и $e_{0\pm}$ можно наложить еще одно условие, а именно,

$$\text{Im}(\mathcal{E}_{0+}^* e_{0+} - \mathcal{E}_{0-}^* e_{0-}) = 0, \quad (12)$$

которое связано со способом получения модулированной только по состоянию поляризации световой волны. Если определенную соотношением (2) плоскую волну \mathcal{E}_0 пропустить через тонкую пластинку пространственно-временного модулятора света, работающего на линейном электрооптическом эффекте, то, как показано в [9], на выходе волна E_0 в циркулярных компонентах примет вид

$$E_{0\pm}(d) = \mathcal{E}_{0\pm} + \left(\frac{i}{2}\right) \mathcal{E}_{0\mp} \int_0^d dz \kappa(z) e^{\pm 2i\psi(z)}. \quad (12a)$$

Здесь d — толщина кристаллической пластинки модулятора; $\psi = \psi(x, y, z)$ — угол между главной осью эллипса оптической индикатрисы и осью x , а функция $\kappa = \kappa(x, y, z)$ пропорциональна внутреннему электрическому полю в образце. Выделяя в $\mathcal{E}_{0\pm}$ постоянную фазу $\pm \Phi$ и полагая

$$2\psi(x, y, z) = \Phi + \chi(x, y, z) - \frac{\pi}{2}, \quad \int_0^d dz \kappa(z) e^{i\chi(z)} = f(x, y) e^{i\varphi(x, y)},$$

представим $\mathcal{E}_{0\pm}$ и $e_{0\pm}$ в виде

$$\mathcal{E}_{0\pm} = \sqrt{I_{\pm}} \exp(\pm i\Phi), \quad e_{0\pm} = \pm \sqrt{I_{\mp}} f \exp(\pm i\varphi), \quad (13)$$

где f и φ — произвольные функции x, y . Нетрудно убедиться, что так определенные поля $\mathcal{E}_{0\pm}$ и $e_{0\pm}$ удовлетворяют условиям (11) и (12).

Решение системы алгебраических уравнений (10) представим в виде

$$C_+(p) = iD^{-1} \{ I_+ S [2\beta p^2 - 2iq_0^2(\alpha + 2\beta)p - P] + S^* [ip(p^2 + q_0^2 - 2q_0^2 \alpha I_-) + (q_0^2 + 2\beta I_+)p^2 + Q] \}, \quad (14)$$

$C_-(p)$ получается из $C_+(p)$, если там заменить $I_{\pm} \rightarrow I_{\mp}$, $S \rightleftharpoons S^*$. Здесь $S = \mathcal{E}_{0+}^* e_{0-} = -\mathcal{E}_{0+} e_{0+}^*$, функции P и Q соответственно равны

$$\left. \begin{aligned} P &= 2q_0^2 [q_0^2 \alpha + 4\beta(\alpha + \beta)I_- + q_0^2 \beta], \\ Q &= q_0^2 [q_0^4 - 2q_0^2(\alpha I_- - \beta I_+) - 8\beta(\alpha + \beta)I_+ I_-], \end{aligned} \right\} \quad (15)$$

а знаменатель D определяет полюса в комплексной плоскости

$$D = (p^2 + p_1^2)(p^2 + p_2^2), \quad (16)$$

$$p_{1,2}^2 = q_0^2 \{q_0^2 - \alpha I \pm \sqrt{\alpha^2 I^2 + 16\beta(\alpha + \beta) I_+ I_-}\}. \quad (17)$$

При некоторых значениях параметров полюса p_i , определенные выражением (17), могут оказаться на действительной оси плоскости p , что приведет к неустойчивости. Условия возникновения неустойчивости ($p_i^2 < 0$) имеют вид

$$q_0^2 - \alpha I < \pm \sqrt{\alpha^2 I^2 + 16\beta(\alpha + \beta) I_+ I_-}. \quad (18)$$

Можно показать, что подкоренное выражение в (18) положительно при любых значениях параметров.

3. Связь неустойчивости с поляризацией волны

Исследуем сначала важные предельные случаи поляризации падающей волны — циркулярной и линейной. Пусть падающая волна левополяризована. Тогда в (14) надо положить $I_+ = 0$, $I_- = I$. Для перехода к пределу $I_+ = 0$ введем в соответствии с (8) $b_{\pm} = \mathcal{E}_{0\pm} \bar{C}_{\pm} / I_{\pm}$, так что

$$a_{\pm} = b_{\pm} \exp(\mp i q z). \quad (19)$$

Кроме того, согласно определению S и формуле (13)

$$S = -\sqrt{I_+ I_-} F(\nu) \exp(i\Phi), \quad (20)$$

где комплексная функция $F(\nu)$ есть Фурье-образ функции $f(x, y) \times \times \exp[-i\varphi(x, y)]$, определяющей модуляцию падающего света. В результате из (14) для циркулярной поляризации получим

$$\left. \begin{aligned} b_+ &= \sqrt{I} F^*(\nu) / (p + i q_0^2), \\ b_- &\sim I_+ / \{(p^2 + q_0^2) [p^2 + q_0^2 (q_0^2 - 2\alpha I)]\} \rightarrow 0. \end{aligned} \right\} \quad (21)$$

Определенная в (5) величина q становится равной $q = \omega \beta_0 I / 2c n_0$. Из (21) следует, что если падающий свет левополяризован, то прошедшая волна имеет правую поляризацию. Так как в (21) полюс p чисто мнимый, то для циркулярно-поляризованного света в случае модуляции волны по состоянию поляризации эффект самовоздействия не содержит неустойчивости. В этом случае циркулярная поляризация является для изотропной среды особым случаем. Заметим, что обращение в нуль b_- обусловлено дополнительным условием (12). Если его не накладывать, то коэффициент в функции b_- не стремится к нулю при $I_+ \rightarrow 0$ и тогда полюс $p = q_0 \sqrt{q_0^2 - 2\alpha I}$ может привести к усилению волны. Возникающая неустойчивость здесь не отличается от самофокусировки в скалярной модели [7].

Для линейно-поляризованной падающей волны (поляризованной вдоль оси x) в (14) следует положить $I_+ = I_- = I/2$, $\Phi = 0$. Переходя к линейно-поляризованным амплитудам b_x и b_y ($b_x = (b_+ + b_-) / \sqrt{2}$, $b_y = i(b_- - b_+) / \sqrt{2}$), получим, что

$$b_x = i \sqrt{I} [\operatorname{Re} F(\nu)] (q_0^2 + i p) / [p^2 + q_0^2 (q_0^2 - 2(\alpha + \beta) I)], \quad (22a)$$

$$b_y = -i \sqrt{I} [\operatorname{Im} F(\nu)] (q_0^2 + 2\beta I + i p) / [p^2 + q_0^2 (q_0^2 + 2\beta I)]. \quad (22b)$$

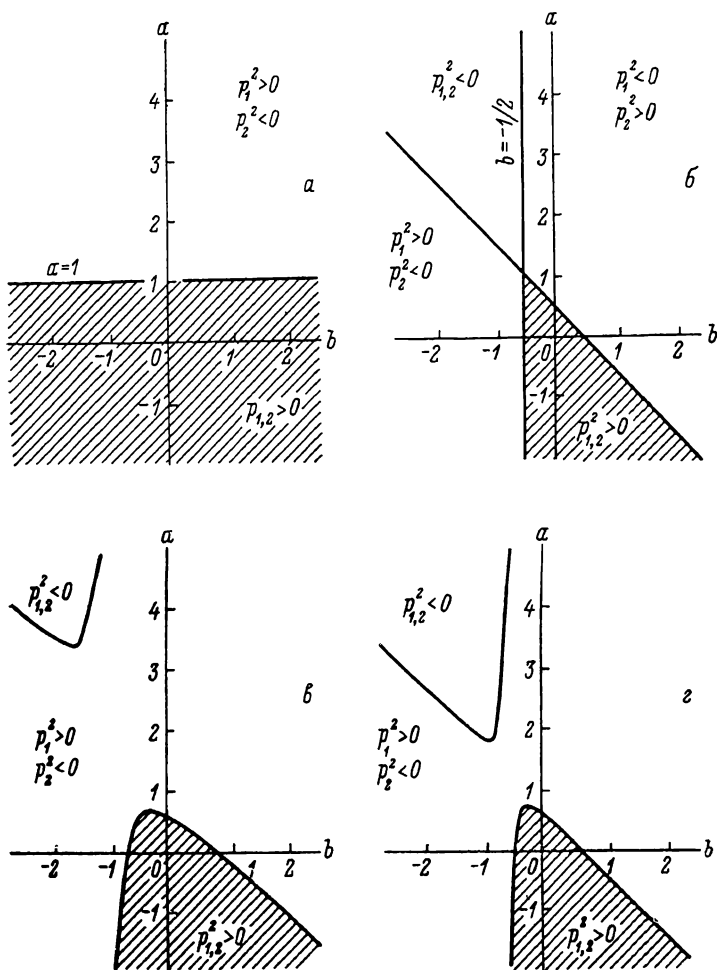
Для линейной поляризации $q = 0$. Из (22) видно, что на выходе линейно-поляризованный свет преобразуется в эллиптически поляризованный. Компонента, совпадающая с поляризацией падающей волны (b_x), имеет область неустойчивости, совпадающую с таковой в скалярной теории [7]

$$q_0^2 \leq 2(\alpha + \beta) I \quad \text{или} \quad \nu^2 \leq 2(\omega^2/c^2)(\alpha_0 + \beta_0) I. \quad (23a)$$

Составляющая прошедшей волны с ортогональной поляризацией также может иметь порог, но область неустойчивости определяется здесь другими параметрами, а именно,

$$q_0^2 \leq -2\beta I \quad \text{или} \quad v^2 \leq -2(\omega^2/c^2)\beta_0 I, \quad (236)$$

т. е. неустойчивость появляется, только если $\beta_0 < 0$.



Области неустойчивости в плоскости ab в зависимости от поляризации падающей волны, определяемые формулой (24).

a — $\sigma=0$ (циркулярная поляризация); $б$ — $\sigma=1$ (линейная поляризация); $в, г$ — эллиптическая поляризация, $в$ — $\sigma=0.5$; $г$ — $\sigma=0.8$. Области неустойчивости не заштрихованы.

В общем случае эллиптической поляризации падающей волны удобно ввести, согласно (6), вместо I_+ и I_- параметр λ . Тогда неравенство (18) запишется в форме

$$1 - a \pm \sqrt{a^2 + 4\sigma b(a + b)} \leq 0, \quad (24)$$

где $a = \alpha I/q_0^2$, $b = \beta I/q_0^2$, $\sigma = \cos^2 \lambda$. На рисунке показаны области неустойчивости в плоскости параметров $\alpha_0\beta_0$, границы областей зависят от степени эллиптичности волны. Линии, отделяющие области неустойчивости от устойчивых областей, определяются функцией

$$a = (1 - 4\sigma b^2)/2(1 + 2\sigma b).$$

Для циркулярной поляризации неустойчивости определяется только плюсом p_2^2 (см. рисунок, a , предполагается, что коэффициент в b в (24) отличен от нуля). При переходе к линейной поляризации (см. рисунок, $б$)

возникает точка вырождения при $b = -1/2$, что приводит к изменению классификации областей. Область $b < -1/2$ соответствует неустойчивости волны с поляризацией, перпендикулярной падающей (см. (23б)), а область, расположенная выше прямой $a = -b + 1/2$, — неустойчивости в волне с исходной поляризацией (см. (23а)).

4. Обсуждение результатов

Таким образом, в развитой теории распространение пространственно-модулированной по состоянию поляризации волны через нелинейную изотропную среду приводит в определенных условиях к возникновению неустойчивостей, которые отсутствуют в скалярной теории.

Обсудим в заключение возможность наблюдения рассмотренных выше неустойчивостей. Волну, типа приведенной в (13), можно получить, как упоминалось выше, посредством пропускания через электрооптический модулятор интенсивной плоской немодулированной эллиптически поляризованной волны, циркулярными компонентами которой являются $\mathcal{E}_{0\pm} = \sqrt{I_{\pm}} \exp(\pm i\Phi)$. Модуляция добавки $\epsilon_{0\pm}$ в этом случае достигается предварительной записью на модулятор, например, одномерной пространственной решетки с волновым вектором χ . Поле волны на выходе из модулятора задается формулами (12а). Если падающая на модулятор волна поляризована циркулярно, то, согласно (21), в нелинейной изотропной среде неустойчивости, связанной с модуляцией направления вектора, поляризации в рассматриваемом приближении не возникает. Наиболее просто, по-видимому, исследовать неустойчивости при линейно-поляризованном падающем свете. Если после прохождения слоя нелинейной среды свет пропустить через анализатор, разлагающий эллиптическую волну на линейно-поляризованные компоненты, то компонента, поляризованная вдоль направления поляризации падающей волны, будет содержать неустойчивость типа самофокусировки в скалярной модели (см. (22а) и (23б)). Для перпендикулярной поляризации возникает новая неустойчивость (22б) и (23б), обусловленная модуляцией состояния поляризации волны. Отметим, что эта неустойчивость появляется в средах, где $\beta_0 < 0$ (см. рисунок, б). Что касается эллиптической поляризации падающего света, то там, вообще говоря, неустойчивости могут иметь место в более широкой области изменения α_0 и β_0 (см. рисунок, в, г).

Значения параметров (интенсивность падающей волны, длина самофокусировки и т. п.), при которых возможно наблюдение рассмотренных выше нелинейных эффектов, хотя по порядку величины и совпадают с данными скалярной теории, но численно могут значительно от них отличаться.

Л и т е р а т у р а

- [1] Ахманов С. А., Сухоруков А. П., Хохлов Р. В. УФН, 1967, т. 93, № 1, с. 19—70.
- [2] Ахманов С. А., Выслоух В. А., Чиркин А. С. УФН, 1986, т. 149, № 3, с. 449—509.
- [3] Maker P. D., Terhune R. W., Savage C. M. Phys. Rev. Lett., 1964, vol. 12, № 18, p. 507—509.
- [4] Winful G. H. Appl. Phys. Lett., 1985, vol. 47, № 3, p. 213—215; Opt. Lett., 1986, vol. 11, № 1, p. 33—35.
- [5] Поляков А. И., Уразбаев Т. Т. Опт. и спектр., 1984, т. 57, № 4, с. 731—732.
- [6] Петров М. П., Степанов С. И., Хоменко А. В. Фоточувствительные электрооптические среды в голографии и оптической обработке информации. Л.: Наука, 1983.
- [7] Ландау Л. Д., Лифшиц Е. М. Электродинамика сплошных сред. М.: Наука, 1982.
- [8] Альтшуллер Г. Б., Дульнева Е. Г., Карасев В. Б., Шарлай С. Ф. ЖТФ, 1979, т. 49, № 1, с. 143—149.
- [9] Брыксин В. В., Коровин Л. И. ЖТФ, 1985, т. 55, № 12, с. 2289—2296.